



دانشکده مکانیک

گرایش تبدیل انرژی

پایان نامه کارشناسی ارشد

با عنوان:

آنالیز یک بعدی جریان سیال درون توربین بخار

استاد راهنما:

جناب آقای دکتر علی کشاورزولیان

نگارش:

داود قاسمی

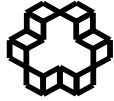
زمستان ۹۰



تقدیم به

همسر، پدر و مادر

مهربانانی که مایه دلگرمی و آرامش بودند

شماره: تاریخ:	تأییدیه هیأت داوران	 تأسیس ۱۳۰۷ دانشگاه صنعتی خواجه نصیرالدین طوسی
------------------	----------------------------	---

هیأت داوران پس از مطالعه پایان نامه و شرکت در جلسه دفاع از پایان نامه تهییه شده تحت عنوان :

آنالیز یک بعدی جریان سیال درون توربین بخار

توسط آقای داود قاسمی، صحت و کفایت تحقیق انجام شده را برای اخذ درجه کارشناسی ارشد

رشته مهندسی مکانیک گرایش تبدیل انرژی در تاریخ / ۱۳ مورد تأیید قرار می دهند.

امضاء

جناب آقای دکتر علی کشاورزولیان

۱- استاد راهنمای اول

امضاء

۲- استاد راهنمای دوم

امضاء

جناب آقای / سرکار خانم دکتر

۳- استاد مشاور

امضاء

جناب آقای دکтор مهرزاد شمس

۴- ممتحن داخلي

امضاء

جناب آقای دکتر حامدی

۵- ممتحن داخلي

امضاء

جناب آقای دکتور مهرزاد شمس

۶- نماینده تحصیلات
تكميلی دانشکده

شماره:	اطهارنامه دانشجو
تاریخ:	

اینجانب داود قاسمی دانشجوی کارشناسی ارشد رشته مهندسی مکانیک گرایش تبدیل انرژی دانشکده مهندسی
مکانیک دانشگاه صنعتی خواجه نصیرالدین طوسی گواهی می‌نمایم که تحقیقات ارائه شده در پایان‌نامه با عنوان

آنالیز یک بعدی جریان سیال درون توربین بخار

با راهنمایی استاد محترم جناب آقای دکتر علی کشاورزولیان، توسط شخص اینجانب انجام شده و صحت و اصالت مطالب نگارش شده در این
پایان‌نامه مورد تأیید می‌باشد، و در مورد استفاده از کار دیگر محققان به مرجع مورد استفاده اشاره شده است. بعلاوه گواهی می‌نمایم که مطالب
مندرج در پایان نامه تاکنون برای دریافت هیچ نوع مدرک یا امتیازی توسط اینجانب یا فرد دیگری در هیچ جا ارائه نشده است و در تدوین متن
پایان‌نامه چارچوب (فرمت) مصوب دانشگاه را بطور کامل رعایت کرده‌ام.

امضاء دانشجو:

تاریخ:

حق طبع و نشر و مالکیت نتایج

۱- حق چاپ و تکثیر این پایان نامه متعلق به نویسنده آن می باشد. هرگونه کپی برداری بصورت کل پایان نامه یا بخشی از آن تنها با موافقت نویسنده یا کتابخانه دانشکده مهندسی مکانیک دانشگاه صنعتی خواجه نصیرالدین طوسی مجاز می باشد. ضمناً متن این صفحه باید در نسخه تکثیر شده وجود داشته باشد.

۲- کلیه حقوق معنوی این اثر متعلق به دانشگاه صنعتی خواجه نصیرالدین طوسی می باشد و بدون اجازه کتبی دانشگاه به شخص ثالث قابل واگذاری نیست.

همچنین استفاده از اطلاعات و نتایج موجود در پایان نامه بدون ذکر مرجع ، مجاز نمی باشد.

تقدیر و تشکر

اکنون که با یاری خداوند توفیق اتمام پایان نامه کارشناسی ارشد خود را به دست آوردم، لازم می‌دانم از استاد مهربان و بزرگ‌منش جناب آقای دکتر علی کشاورز زولیان نهایت سپاسگذاری و امتنان را داشته باشم. که اگر همراهی و کمک این استاد بزرگ نبود شاید این پایان نامه به سرانجام نمی‌رسید. امیدوارم در ادامه زندگی و مراتب بعدی کسب علم و دانش از آموزه‌های علمی و اخلاقی این استاد بهره‌مند شوم.

از تمامی دوستان عزیز و گرام که در تمامی مراحل انجام این پروژه یاری‌گر من بودند و من را راهنمایی کردند کمال قدردانی را دارم و برای آنها از پروردگار متعال آرزوی موفقیت در تمامی مراحل زندگی دارم.

چکیده

استفاده از میکروتوربین‌های جریان شعاعی در سیکل بخار گام جدیدی در مقوله تولید انرژی است. در فشارهای پایین استفاده از بخار آب به عنوان سیال عامل در سیکل بخار رانکین امکان‌پذیر نیست و سیالات ارگانیک مثل مبردها و ترکیبات هیدروکربنی به علت داشتن فشار و دمای بحرانی پایین به عنوان سیال عامل در این سیکل‌ها استفاده می‌شوند. در این پایان‌نامه طراحی هندسی کلی توربین جریان شعاعی به همراه تحلیل جریان سیال عبوری از آن به روش یک بعدی انجام می‌شود. ورودی‌های مسئله شامل فشار و دمای کل، دبی جرمی، نسبت فشار و سرعت مخصوص است و خروجی‌های مسئله شامل کار خروجی، راندمان اکسرژی، ابعاد هندسی توربین و غیره می‌باشد. برای حل معادلات مربوط به آنایز جریان و ابعاد هندسی توربین از نرم‌افزار *EES(Engineering Equation Solve)* استفاده شده است. روش حل مسئله یک بعدی در حالت جریان دائم است. توربین مورد نظر برای استفاده در سیکلی با کار خروجی ۲۰ کیلووات و فشار ورودی ۱۰ بار مورد بررسی قرار گرفته است. در اینجا در خروجی روتور، دیفیوزر در نظر گرفته نشده است و حل پارامترهای جریان و تعیین ابعاد هندسی توربین برای ۱۰ سیال انجام شده است. سیال‌های بوتان و سایکلوهگزان به دلیل تامین کار خروجی مورد نیاز، راندمان اکسرژی بالا و اندازه روتور کوچکتر سیالات مناسبی برای استفاده در سیکل بخار رانکین هستند. در شرایطی که فشار ورودی خیلی پایین باشد می‌توان از سایکلوهگزان به دلیل خشک بودن آن، به عنوان سیال عامل در سیکل رانکین استفاده نمود.

کلمات کلیدی: توربین جریان شعاعی، راندمان اکسرژی، *ORC*, *CCHP*

شماره صفحه

فهرست مطالب

۱	فصل اول: مروری بر تحقیقات صورت گرفته در زمینه میکروتوربینها.....
۲	۱-۱- تاریخچه.....
۴	۱-۲- خصوصیات توربین جریان شعاعی و جریان محوری.....
۶	۱-۳- مزایا و معایب میکروتوربینها و سیستمهای ترکیبی توان و گرما (<i>CHP</i>).....
۷	۱-۴- کاربردهای صنعتی <i>CHP</i>
۹	فصل دوم معادلات حاکم و سیستم مختصات:.....
۱۰	۲-۱- قانون اول و دوم ترمودینامیک.....
۱۲	۲-۲- معادله حالت سیال.....
۱۲	۲-۳- معادله حالت سیال واقعی.....
۱۵	۲-۴- جریان در سیستم مختصات چرخشی.....
۱۹	۲-۵- سیال عامل.....
۲۳	فصل سوم: تحلیل جریان و طراحی توربین.....
۲۴	۳-۱- هندسه توربین جریان شعاعی.....
۲۵	۳-۲- طراحی روتور.....
۲۸	۳-۳- تعیین ابعاد نوک روتور.....
۲۹	۳-۴- مشخصات مورد نیاز طراحی روتور.....
۳۳	۳-۵- درجه عکس العمل.....
۳۳	۳-۶- هندسه پره استاتور.....
۳۶	۳-۷- اندازه گذاری هندسه استاتور.....
۳۹	۳-۸- طراحی محفظه مارپیچ.....
۴۲	۳-۹- کار خروجی و راندمان اکسرژی.....
۴۳	فصل چهارم: افتهاي توربین جریان شعاعی.....
۴۴	۴-۱- ضریب افت نازل.....
۴۴	۴-۲- ضرائب افت روتور.....
۴۵	۴-۳- افت ناشی از برخورد.....
۴۵	۴-۳-۱- زاویه برخورد.....
۴۶	۴-۴- افت ناشی از عبور جریان از مجرای روتور.....
۴۷	۴-۵- افت ناشی از لقی.....

۴۸.....	۶-۴- افت ناشی از اصطکاک دیسک روتور.....
۴۸.....	۶-۴-۷- افت ناشی از سرعت جریان در خروجی روتور.....
۴۹.....	۶-۴-۸- ضرائب درگ و لیفت.....
۵۱.....	۶-۴-۹- آنالیز لایه مرزی.....
۵۳.....	۶-۴-۱۰- ضریب افت لایه مرزی.....
۵۵.....	فصل پنجم: نتایج مدلسازی.....
۵۶.....	۱-۵- مقدمه.....
۵۷.....	۲-۵- بررسی تاثیر پارامترها بر شاخصهای طراحی توربین.....
۵۸.....	۱-۵-۲- تاثیر فشار ورودی.....
۶۲.....	۲-۵-۲- تاثیر دمای ورودی.....
۶۴.....	۳-۵-۲- تاثیر نسبت فشار.....
۶۶.....	۴-۵-۲- تاثیر دبی جرمی.....
۶۸.....	۳-۵-۳- افتها.....
۶۸.....	۱-۵-۳-۱- تاثیر فشار.....
۷۰.....	۲-۵-۳-۲- تاثیر نسبت فشار.....
۷۲.....	۴-۵- هندسه استاتور.....
۷۳.....	۱-۵-۴-۱- تاثیر فشار.....
۷۵.....	۲-۵-۴-۲- تاثیر دما.....
۷۷.....	۳-۵-۴-۳- تاثیر نسبت فشار.....
۷۹.....	۴-۵-۴-۴- تاثیر دبی جرمی.....
۸۱.....	فصل ششم نتیجه گیری:.....
۸۲.....	۱-۶- نتیجه گیری.....
۸۴.....	۲-۶- پیشنهادات.....

فهرست جداول

شماره صفحه

جدول(۱-۱)- فاکتور آسنتریک سیالات استفاده شده در تحلیل.....	۱۳
جدول(۲-۲)- سیالات ارگانیک و نوع آنها.....	۲۲
جدول(۱-۵)- مقایسه نتایج کد با نتایج ناسا و آنگیر.....	۵۷
جدول(۲-۵)- نتایج به دست آمده برای ابعاد هندسی، کار خروجی و راندمان اکسرژی برای سیالات مختلف با فشار ، نسبت فشار و دبی ورودی یکسان.....	۵۸
جدول(۳-۵) - افتهای دیسک محور، لقی، ضربه و جریان خروجی برای ۱۰ سیال عامل مختلف.....	۷۰
جدول(۴-۵)- تغییرات پارامترهای هندسی پره نازل با تغییر فشار ورودی با سیال عامل سایکلوهگزان.....	۷۳
جدول(۵-۵)- تغییرات پارامترهای هندسی پره نازل با تغییر فشار ورودی با سیال عامل بوتان.....	۷۳
جدول(۶-۵)- تغییرات پارامترهای هندسی پره نازل با تغییر فشار ورودی با سیال عامل RI23.....	۷۴
جدول(۷-۵)- تغییرات پارامترهای هندسی پره نازل با تغییر فشار ورودی با سیال عامل RI34a.....	۷۴
جدول(۸-۵)- تغییرات پارامترهای هندسی پره نازل با تغییر دمای ورودی با سیال عامل سایکلوهگزان.....	۷۵
جدول(۹-۵)- تغییرات پارامترهای هندسی پره نازل با تغییر دمای ورودی با سیال عامل بوتان.....	۷۵
جدول(۱۰-۵)- تغییرات پارامترهای هندسی پره نازل با تغییر دمای ورودی با سیال عامل RI23.....	۷۶
جدول(۱۱-۵)- تغییرات پارامترهای هندسی پره نازل با تغییر دمای ورودی با سیال عامل RI34a.....	۷۶
جدول(۱۲-۵)- تغییرات پارامترهای هندسی پره نازل با تغییر نسبت فشار با سیال عامل سایکلوهگزان.....	۷۷
جدول(۱۳-۵)- تغییرات پارامترهای هندسی پره نازل با تغییر دمای ورودی با سیال عامل بوتان.....	۷۷
جدول(۱۴-۵)- تغییرات پارامترهای هندسی پره نازل با تغییر نسبت فشار با سیال عامل RI23.....	۷۸
جدول(۱۵-۵)- تغییرات پارامترهای هندسی پره نازل با تغییر نسبت فشار با سیال عامل RI34a.....	۷۸
جدول(۱۶-۵)- تغییرات پارامترهای هندسی پره نازل با تغییر دبی جرمی با سیال عامل سایکلوهگزان.....	۷۹
جدول(۱۷-۵)- تغییرات پارامترهای هندسی پره نازل با تغییر دبی جرمی با سیال عامل بوتان.....	۷۹

جدول(۱۸-۵)- تغییرات پارامترهای هندسی پره نازل با تغییر دبی جرمی با سیال عامل *R123* ۸۰.....

جدول(۱۹-۵)- تغییرات پارامترهای هندسی پره نازل با تغییر دبی جرمی با سیال عامل *R134a* ۸۰.....

شماره صفحه

فهرست نمودارها

شكل (۱-۵)- تغییرات قطر ورودی روتور با تغییرات فشار ورودی به توربین.....	۶۰
شكل (۲-۵)- تغییرات توان خروجی توربین با تغییرات فشار ورودی.....	۶۰
شكل (۳-۵)- تغییرات راندمان اکسرژی با تغییرات فشار ورودی به توربین.....	۶۱
شكل (۴-۵)- تغییرات توان خروجی از توربین با افزایش دمای ورودی، با فشار ورودی ثابت $10bar$	۶۲
شكل (۵-۵)- تغییرات راندمان اکسرژی با افزایش دمای ورودی، با فشار ورودی ثابت $10bar$	۶۳
شكل (۶-۵)- تغییرات شعاع ورودی روتور با نسبت فشار.....	۶۵
شكل (۷-۵)- تغییرات کار خروجی از توربین بر حسب نسبت فشار.....	۶۵
شكل (۸-۵)- تغییرات راندمان اکسرژی بر حسب نسبت فشار.....	۶۶
شكل (۹-۵)- تغییرات شعاع روتور با دبی جرمی.....	۶۷
شكل (۱۰-۵)- تغییرات توان خروجی از توربین بر حسب دبی جرمی ورودی.....	۶۷
شكل (۱۱-۵) تغییرات افت دیسک محور توربین با تغییرات نسبت فشار.....	۷۰
شكل (۱۲-۵) تغییرات افت ناشی از جریان خروجی از روتور با تغییرات نسبت فشار.....	۷۱

فهرست شکل‌ها

شماره صفحه

شکل (۱-۱)- مقایسه بین راندمان‌های توربین جریان شعاعی و جریان محوری.....	۵
شکل (۱-۲)- مثلث سرعت در روتور.....	۱۶
شکل (۲-۱)- نمای شماتیک سطح جریان.....	۱۷
شکل (۲-۲)- سیستم مختصات طبیعی.....	۱۸
شکل (۲-۳)- نمودار سیالات با شبیب بخار اشباع مختلف.....	۲۱
شکل (۳-۱)- شمای کلی توربین جریان شعاعی (سانتریفیوژ).....	۲۲
شکل (۳-۲)- نقاط مورد نیاز طراحی.....	۲۳
شکل (۳-۳)- نمودار عمومی راندمان بر حسب سرعت مخصوص.....	۲۷
شکل (۳-۴)- شماتیک پره استاتور و مشخصات آن.....	۳۴
شکل (۳-۵)- شماتیک ایرفویل پره استاتور.....	۳۵
شکل (۳-۶)- هندسه پره نازل.....	۳۸
شکل (۳-۷)- محفظه مارپیچ نوع خارجی خارجی.....	۳۹
شکل (۳-۸)- محفظه مارپیچ نوع داخلی.....	۴۰
شکل (۵-۱۳)- نمای شماتیک هندسه پره نازل.....	۷۲
شکل (۵-۱۴)- شکل شماتیک یک پره ساده و بی انحنای نازل.....	۷۲

خ

علایم

A	نقطه حداکثر انحنا، ثابت
A	ابعاد هندسی محفظه مارپیچ، سطح مقطع
AR	نسبت شکل در محفظه مارپیچ
B	عرض مجراء، ثابت
B	ابعاد هندسی محفظه مارپیچ
C	وتر پره
c_p	ضریب گرمای ویژه در فشار ثابت
c_v	ضریب گرمای ویژه در حجم ثابت
d	نقطه حداکثر ضخامت
D	قطر
C	ضریب افت
E	اکسرژی
F_D	نیروی درگ
h	هاب روتور، آنتالپی استاتیکی
H	آنتالپی کل، ضریب شکل
i	زاویه برخور ایدهآل
K_b	فاکتور انسداد
L	افت، طول خط جريان
\dot{m}	دبی جرمی
n	ثابت، مولفه سیستم مختصات
n_s	سرعت مخصوص
N_R	تعداد پرهای روتور
N_N	تعداد پرهای نازل
P	فشار
q	گرما، افت بی بعد آنتالپی
Q	دبی حجمی
r	شعاع
R	درجه عکس العمل، ثابت گازها
s	آنتروپی، گام پره
t	ضخامت پره
T	دما
u	انرژی داخلی، سرعت جريان
U	سرعت پره
V	سرعت مطلق
v	نسبت سرعت
w	کار

W	سرعت نسبی، کار خروجی از توربین
x	مختصات هندسی در جهت افقی
y	مختصات هندسی در جهت عمودی
Y_p	ضریب افت پروفیل لایه مرزی
z	فاکتور تراکم پذیری
Δz	طول محوری توربین

زیرنویس‌ها

$1,2,3,4,5$	نقاط طراحی
0	شرایط ترمودینامیکی محیطی
ave	متوسط
I	لیفت
c	لقی
cr	حالت بحرانی
d	خروچی
D	درگ
df	اصطکاک دیسک
ex	خروچی
f	اصطکاک
h	هاب روتور
i	ورودی
id	شرایط ایدهآل
incid	ضریب
m	مولفه نصفالنهاری
N	نازل
opt	حالت بهینه
out	خروچی
r	مولفه شعاعی، کاهیده
rev	حالت برگشت پذیر
ref	حالت مرجع
R	روتور
RP	مجرای روتور
s	شروع روتور، حالت ویژه
sp	افشانه
t	حالت کامل
v	حالت بخار

w	دیوار
z	مولفه محوری
θ	مولفه مماسی

نمادهای یونانی

α	زاویه جریان نسبت به افق
β	زاویه پره نسبت به افق
ψ	ضریب سرعت
δ	ضخامت لایه مرزی
δ^*	ضخامت جابجایی لایه مرزی
θ	ضخامت مومنتوم لایه مرزی
ε	نسبت شعاع خروجی روتور به شعاع ورودی آن
λ	نسبت مولفه نصفالنهاری سرعت خروجی روتور به سرعت ورودی روتور
ΔH	افت آنتالپی
ρ	چگالی
ω	سرعت دورانی، فاکتور استنتریک
χ	زاویه لبه
φ_m	زاویه نقطه میانی وتر نازل
ϕ_{cam}	زاویه انحنای ایرفول
η	راندمان
τ	گشتاور
μ	لزجت
σ	فاکتور لغزش

فصل اول

مرواری بر تحقیقات صورت

گرفته در زمینه میکرو

توربین‌ها

۱-۱- تاریخچه

مینی و میکروتوربین‌ها در مقایسه با تکنولوژی‌های دیگر برای استفاده در واحدهای کوچک تولید قدرت به ویژه برای واحدهای تولید همزمان فوائد زیادی دارند. با این وجود چندین مانع و مشکل تکنیکی و غیرتکنیکی برای پیاده کردن این تکنواوژی وجود دارد. هر چند این تکنولوژی را می‌توان برای تولید توان در صنعت، تجارت و بخش‌های مسکونی استفاده نمود اما هنوز تردیدهایی از نظر پتانسیل رقابت در بازار در مورد آن وجود دارد. اگر هزینه، راندمان، طول عمر، قابلیت اطمینان و مشکلات زیست محیطی طراحی موجود بهبود یابد، این پتانسیل می‌تواند به صورت قابل توجهی افزایش یابد.

استفاده از توربین‌های بخار در سیستم‌های *CCHP* کوچک به دلیل نیاز به کار در فشار و دمای پایین کمتر مورد توجه بوده است. تحقیقات کمی در زمینه استفاده از توربین‌های جریان شعاعی در سیکل‌های رانکین ارگانیک^۱ کوچک انجام شده است. شرکت *[۱]* سازنده میکروتوربین‌های جریان خارجی *carrier* شعاعی است که از بخار فشار بالا برای تولید توان استفاده می‌کند. این توربین‌ها بر روی یک گیربکس کاهنده‌ای که خودش بر روی یک موتور الکتریکی القایی قرار دارد، نصب می‌شوند. توربین شرکت *Energent*^۲ در زمینه تولید میکروتوربین‌های جریان شعاعی کوچک از نوع جریان خارجی^۳ که توانی در حدود ۲۷۵ کیلووات تولید می‌کند فعالیت می‌کند. میکروتوربین‌های نامبرده به ازای نسبت فشار ۱:۵/۲ در دارای حداکثر راندمان ۸۰ درصد و به ازای نسبت فشار ۱:۵ دارای حداکثر راندمان ۷۰ درصد می‌باشد. در این توربین حداکثر فشار ورودی ۶۲/۱۳ بار و حداقل فشار خروجی نیز ۰/۱۳ بار می‌باشد و با دبی جرمی در حدود ۰/۵ تا ۰/۲ کیلوگرم بر ثانیه کار می‌کند. شرکت *QNP*^۴ نیز سازنده توربین‌هایی است که فشار و دمای آن بسته به نیاز مصرف کننده قابل تنظیم است و می‌تواند با حداقل فشار خروجی توربین^۳ کار

¹ -Organic Rankin Cycle(ORC)

² -Radial Outflow Turbine

³ -Back Pressure

کند. شرکت *Globalsource* [۴] سازنده توربین‌های یک مرحله‌ای بخار با اسم تجاری *Lulutong*^۱ است که می‌تواند بین ۱۵ تا ۲۵۰۰ کیلو وات توان تولید کند. فشار ورودی به آن می‌تواند از ۶ تا ۴۵ بار متغیر باشد و دمای ورودی به آن نیز بین ۲۸۰ تا ۴۵۰ درجه سلسیوس تعریف شده است. آقای ایپینگ دای و دوستانش در مقاله خود تاثیرات پارامترهای مختلف را بر روی سیکل رانکین ارگانیک به هنگام استفاده از ۱۰ سیال مختلف بررسی نموده است [۵][۸]. حاجیلویی مشخصات جریان و عملکرد را برای یک توربین جریان شعاعی با دو ورودی^۲ به صورت عددی و تجربی بررسی نموده است [۶][۲۰]. حاجیلویی در این مقاله نشان داد پایین‌ترین راندمان مربوط به شرایط ورودی حداکثر^۳ است. گلاسمن کد کامپیوتری برای آنالیز جریان و طراحی هندسی توربین جریان شعاع ارائه نمود [۷]. او در این کد به ازای توان خروجی مشخص از توربین جریان شعاعی، ابعاد هندسی توربین را به دست آورد و جریان عبوری از آن را هم به صورت یک بعدی تحلیل نمود. گلاسمن در این کد پنج نوع افت را بررسی نمود. او در سال ۱۹۹۵ همان کد را با اصلاحاتی دوباره عرضه نمود [۸]. او در کد جدید عبارات مربوط به محاسبه افتها را بهینه سازی نمود. پیلاواچی به بررسی استفاده از مینی و مایکروتوربین‌ها در سیستم‌های *CHP* پرداخت و در آن مزایا و معایب آنها را از لحاظ فنی و غیر فنی مورد بررسی قرار داد [۹]. الجوندی تحلیل انرژی و اکسرژی را برای یک نیروگاه بخار در اردن انجام داد [۱۰]. او تاثیر محیط را بر اکسرژی هر کدام از اجزا نیروگاه برسی نمود و در آن نشان داد حدود ۱۳ درصد از افت اکسرژی در توربین اتفاق می‌افتد. بنسون نیز روش‌هایی برای بررسی ضرایب افت را در توربین‌های جریان شعاعی بررسی نمود [۱۱]. او نشان داد با آنالیز یک بعدی جریان می‌توان نتایج قابل قبولی در بررسی افتها به دست آورده. ابراهیمی و همکاران [۱۲] سیکل *CCHP* کوچکی طراحی نمودند که در آن از یک مینی توربین بخار استفاده شد.

¹ *Lulutong*

² -Twin entry

³ *Extreme condition*